

(HUANJING KEXUE)

ENVIRONMENTAL SCIENCE

第33卷 第6期

Vol.33 No.6

2012

中国科学院生态环境研究中心 主办



₩ 姥 科 孕 (HUANJING KEXUE)

ENVIRONMENTAL SCIENCE

第33卷 第6期2012年6月15日

目 次

| 我国湖泊富营养化效应区域差异性分析 ············ 曹金玲,许其功,席北斗,李小平,杨柳燕,江立文,魏自民,吴献花(1777)基于"源""汇"景观格局指数的海河流域总氮流失评价 ···································· |
|-------------------------------------------------------------------------------------------------------------------------------------------------------------------------------------------------------------------------------------------------------------------------------------------------------------------------------------------------------------------------------------------------------------------------------------------------------------------------------------------------|
| 邓代永,邱孟德,孙国萍,郭俊,张宏涛,张琴,许玫荚(1801) 珠江下游河段沉积物中重金属含量及污染评价 ···································· |
| 全氟辛烷磺酸(PFOS)对斑马鱼卵黄蛋白原 mRNA 水平的影响 |
| MIEX 中试实验对二级出水中有机物丢除的 3DEEM 解析 |
| 水溶性有机物电子转移能力与荧光峰强度的关系研究 陶亚、袁田、周顺桂、袁勇、庄莉、王辉宪(1871) MIEX 中试实验对二级出水中有机物去除的 3DEEM 解析 杨建、高金华、常江(1878) XDLVO 理论解析钙离子对腐殖酸反渗透膜污染的影响机制 姚淑娣、高欣玉、郭本华、包南、谢慧君、梁爽(1884) 栅藻 LX1 在水产养殖废水中的生长、脱氮除磷和油脂积累特性 马红芳、李鑫、胡洪菅、于茵、巫寅虎(1891) 氯化铁用于反硝化同步化学生物絮凝工艺研究 王宏杰、董文艺、刘莉莎、韩贵超(1897) 合成氨废水短程反硝化特性研究 李妍、李泽兵、马家轩、王晓毅、赵白航、李军(1902) 基于新型反应器的好氧颗粒污泥的稳定性控制 李志华、杨帆、李胜、谢磊、王晓昌(1907) 采用非生长能量代谢参数表征颗粒污泥稳定性 李志华、杨帆、李胜、谢磊、王晓昌(1913) 酸-碱预处理促进剩余污泥厌氧消化的研究 袁光环、周兴求、伍健东(1918) 小回流比条件下污泥浓度分区试验研究 史思、王素兰、李瑞、邢传宏(1923) 非离子表面活性剂对污泥调理脱水效果的影响 |
| 非离子表面活性剂对污泥调理脱水效果的影响 |
| 「中国空气污染指数変化特征及影响因素分析 |
| 耕作方式对紫色水稻土农田生态系统 CH ₄ 和 N ₂ O 排放的影响 张军科,江长胜,郝庆菊,唐其文,程炳红,李辉,陈璐豪(1979) 垄作覆膜条件下田间氨挥发及影响因素 上官字先,师日鹏,李娜,韩坤,李会科,王林权(1987) 添加不同 N 源条件下典型除草剂对土壤呼吸和 N ₂ O 排放的影响 |
| 某石墨阳极法氯碱生产场地二 噻 英污染特征分析 |
| 废开尾切库 15 种植物刈里壶属 P6、Zn 的积累和养力吸收 |
| A/O MBR 处理生活污水效率与菌群多样性的关系 |
| 石油污染土壤生物修复过程中氮循环功能基因的动态检测 |
| 展記 工 日 2 2 2 2 2 2 2 2 2 2 2 2 2 2 2 2 2 2 |
| 《环境科学》征稿简则(1877) 《环境科学》征订启事(1890) 信息(1822,1857,1896,2138) |

湘西花垣矿区主要植物种类及优势植物重金属蓄积 特征

杨胜香1,2,田启建1,梁士楚2,周耀渝1,邹慧成1

(1. 吉首大学生物资源与环境科学学院,吉首 416000; 2. 广西师范大学珍稀濒危动植物生态与环境保护省部共建教育部重点实验室,桂林 541004)

摘要: 矿区重金属污染严重,寻找和发现适合当地气候与土壤条件的重金属耐性植物是矿区植被恢复和污染土壤修复的前提.通过对湘西花垣县锰矿、铅锌矿区植被调查,共记录到高等植物 76 种,隶属 69 属,39 科.对两矿区的主要优势植物及其土壤重金属含量进行了测定、分析,结果表明,两矿区土壤 Pb、Zn、Cd 含量均超过国家土壤环境质量二级标准阈值,对矿区土壤造成了污染.主要优势植物均能适应矿区土壤重金属元素较高的环境,对重金属具有一定的耐性,但不同植物对重金属的吸收和蓄积特征不同,油茶、芒其吸收的重金属主要分布在地上部分,属于金属富集型植物,适于修复湘西矿区重金属污染中等且使用价值较高的污染土壤;灰白毛莓、山莓、毛萼莓、魁蒿、蕨吸收的重金属主要累积在根部,属于根部囤积型植物;芒草、白茅、箬竹、飞龙掌血根、茎、叶重金属含量均较低,属于重金属规避型植物.这 2 种类型的植物适合种植在湘西矿区重金属污染严重、使用价值相对较低、面积较大的矿山废弃地.

关键词:锰矿;铅锌矿;优势植物;重金属;湘西

中图分类号: X171; X820 文献标识码: A 文章编号: 0250-3301(2012)06-2038-08

Bioaccumulation of Heavy Metals by the Dominant Plants Growing in Huayuan Manganese and Lead/Zinc Mineland, Xiangxi

YANG Sheng-xiang^{1,2}, TIAN Qi-jian¹, Liang Shi-chu², ZHOU Yao-yu¹, ZOU Hui-cheng¹

(1. College of Biology and Environmental Science, Jishou University, Jishou 416000, China; 2. Key Laboratory of Ecology of Rare and Endangered Species and Environmental Protection, Ministry of Education, Guangxi Normal University, Guilin 541004, China)

Abstract: Heavy metal pollution is a major environmental problem of mine wasteland. Finding out the tolerant plants, which can adapt to the local climate and the soil conditions, is the premise of vegetation restoration. An extensive vegetation survey and sampling were conducted in Huayuan Mn and Pb/Zn mineland, 76 species belonging to 69 genera and 39 families were recorded. The main dominant species and their associated soils were determined for heavy metal concentrations. The results showed that soil Pb, Zn and Cd levels exceeded the threshold levels of Class II of China Environmental Quality Standard for Soils, which suggested minesoils might be polluted by the three elements. The main dominant plants can adapt to the unfavorable edaphic conditions of mineland and were tolerant to heavy metals. There were great variations of metal uptake and accumulation among different plant species. They were classified into three types according to the metal concentrations in the plant shoots and roots: the accumulator, e. g. Camellia oleifera and Dicranopteris dichotoma, absorbed a large amount of heavy metals by the roots and transported to the shoots, which can be used to clean up the soils containing light to moderate toxic metal concentration and with high-value; the root compartment, e. g. Rubus tephrodes, R. corchorifolius, R. chroosepalus, Artemisia princeps and Pteridium aquilinum also absorbed a large amount of heavy metals but held in the roots; and the excluder, e. g. Miscanthus sinensis, Imperata cylindrica, Indocalamus tessellatus and Toddalia asiatica, absorbed less heavy metals than the accumulators. The root compartment and the excluder were more suitable for remediation of the mine wastelands with high heavy metal concentration, low-value and extensive area.

Key words: manganese mine; lead/zinc mine; dominant plant; heavy metal; Xiangxi

矿山开采不仅造成大规模的土地破坏,而且带来严重的重金属污染问题^[1-3].一般来说,矿山废弃地土壤结构性差,重金属含量较高,有机质含量及植物必需的营养元素缺乏,很不利于植物生长和其他生物活动,生态环境恢复十分困难^[4-6].但植物种类繁多,各有不同的适应性,总有一些能够适应这种特殊的环境条件,在矿山废弃地上定居生长.王友保等^[7]在铜关山野外调查发现,铜尾矿库自然

定居的34种高等植物对重金属有较强的忍耐能

收稿日期: 2011-08-28; 修订日期: 2011-11-07

基金项目: 国家自然科学基金项目(41101532);湖南省科技计划项目(20115K3141);湖南省教育厅科研项目(11C1041);湘西自治州科技计划项目;广西师范大学珍稀濒危动植物生态与环境保护省部共建教育部重点实验室开放基金项目(桂科能1002k003);吉首大学引进人才科研启动基金项目;湖南省重点学科建设项目;喀斯特草地生态系统湖南省研究生培养创新基地项目(JD201101B)

作者简介: 杨胜香(1972~), 女, 博士, 讲师, 主要研究方向为矿山 污染治理及生态恢复, E-mail: yangsx1998@163.com 力、对环境适应性强,改善了矿区的自然景观.杨世勇等^[8]和田胜尼等^[9]研究认为某些禾本科、豆科、菊科植物对重金属有完美的生态适应机制,是金属矿山废弃地植被恢复良好的先锋植物.周兴等^[10]通过对刁江流域有色金属矿区自然生长的植物研究,认为在废弃尾砂库上自然定居的植物,能适应废弃地的极端条件,可作为有色金属矿区植被重建的优选物种.因此,研究矿山废弃地上自然生长的植物是寻找适于废弃地生境特点的植物的有效途径之一.

寻找和筛选适合当地气候条件与土壤条件的重金属耐性植物是矿区植被重建和植物修复的前提[11].本研究调查了湘西花垣锰矿、铅锌矿区自然生长的主要植物,测试了主要优势植物体内重金属含量,分析它们对重金属的蓄积特征,初步筛选出适合湘西矿区废弃地植被恢复的重金属耐性植物,以期为今后矿区污染治理及植物修复提供科学依据.

1 材料与方法

1.1 研究地点概况

花垣县(东经109°11′~110°55′,北纬27°44′~29°47′)位于湖南省湘西自治州中部、西部和西北部分别与贵州省和重庆市接壤.境内具有丰富的矿产资源和植物资源,已探明矿产20余种,其中锰矿、铅锌矿储量分别居全国第二位和第三位,有"东方锰都"、"有色金属之乡"的美称^[12].原始植被为亚热带典型山区植被,阔叶树、针叶树、灌木和草本植物丰富.属中亚热带季风湿润气候,年均气温16.7℃,年均降水量1421 mm,无霜期270 d.该区域光、热、水资源丰富,有利于植物生长,为废弃地的生态恢复提供了良好的气候条件.

1.2 样品采集

2011年5月对花垣县2个典型矿区(民乐锰矿、龙潭铅锌矿)进行了植物调查和采样.记录了矿区的所有高等植物种类,植物的丰富度按目测估计^[13],分为三级:优势种,常见种和偶见种.采集优势植物及其所在区域的土壤,植物样采集3~5株相同植物混合成一个样品,同步采集5个平行样.土样采集0~30cm的表土,将3~5个点土样混为一个样,同步采集5个平行样.分别采集锰矿、铅锌矿区优势植物各7种,35个样,土样各35份,所有样品用聚乙烯塑料袋封装后运回实验室.

1.3 样品处理及分析

植物样品按根、茎、叶分开,用自来水充分冲洗,

洗去附着在表面的灰尘和泥垢,然后用去离水冲洗3次、晾干、于烘箱内105℃杀青30 min,之后在70℃下烘至恒重,磨碎,过100目尼龙筛,于微波消解系统(WX-2100,上海,屹尧)浓HNO₃加热消解.

土壤样品首先去除碎石和植物残体,风干,用木锤捣碎,四分法弃取,然后用研钵研磨成粉末,全部过100目的尼龙筛,于微波消解系统王水(HNO₃: HCl=1:3,体积比)加热消解.

消解后的植物、土壤样品采用 ICP-OES (iCAP6300 Radial, ThermoFisher Scientific, USA)测定5种重金属元素(Mn、Pb、Zn、Cu、Cd)的含量.质量保证采用双平行样和加标回收法,各元素的加标回收率在92.5%~106.4%,符合元素分析质量控制标准.数据处理采用 Excel 2003 和 SPSS 15.0完成.

2 结果与分析

2.1 两矿区植被物种组成及特征

湘西矿区共记录高等植物 76 种,隶属 69 属, 39 科. 其中锰矿区 31 科, 45 属, 49 种; 铅锌矿区 32 科, 49 属, 53 种(表1). 从矿区物种组成来看, 以菊科、禾本科、蔷薇科的种数为多. 锰矿区菊科有 4种,禾本科4种,蔷薇科7种,分别占总种数的 8.2%、8.2%和14.3%;铅锌矿区菊科有5种,禾 本科 4 种, 蔷薇科 4 种, 分别占总种数的 9.4%、 7.5%和7.5%.从植物生活型来看,以草本植物和 灌木为主. 锰矿区记录的 49 种植物中, 草本植物 20 种,占40.8%,灌木16种,占32.6%.铅锌矿区记录 的 53 种植物中,草本植物 23 种,占 43.4%,灌木 16 种,占30.2%.这反映出草本植物和灌木对恶劣环 境的适应能力较强. 从植物的丰富度来看,锰矿区的 优势种有油茶(Camellia oleifera)、灰白毛莓(Rubus tephrodes)、魁蒿 (Artemisia princeps)、山莓 (Rubus corchorifolius)、芒萁(Dicranopteris dichotoma)、蕨 (Pteridium aquilinum)和芒草(Miscanthus sinensis); 铅锌矿区的优势种有油茶(C. oleifera)、灰白毛莓 (R. tephrodes)、白茅(Imperata cylindrica)、箬竹 (Indocalamus tessellatus)、毛 萼 莓 (Rubus chroosepalus)、飞龙掌血(Toddalia asiatica)和芒草 (M. sinensis).

2.2 两矿区土壤的重金属含量及 pH 值

锰矿、铅锌矿区土壤重金属含量及 pH 值见图 1. 两矿区土壤重金属含量趋势均为: $Mn > Pb \approx Zn > Cu > Cd$. 由图 1 可知, 锰矿区土壤 Mn 含量明显高

表 1 花垣锰矿、铅锌矿区主要植物种类

Table 1 Main plant species in Mn and Pb/Zn mineland, Huayuan

| 科(锰矿区) | 种 | 丰富度1) | 生活型 |
|------------------------------------------|--------------------------------------------------|-------|-----------------------|
| 漆树科 Anacardiaceae | 盐肤木 Rhus chinensis | F | 灌木 |
| 五加科 Araliaceae | 楤木 Aralia elata | F | 灌木 |
| 菊科 Asteraceae | 野茼蒿 Crassocephalum crepidioides | F | 一年生草本 |
| | 加拿大飞蓬 Conyza canadensis | F | 二年生草本 |
| | 魁蒿 Artemisia princeps | D | 多年生草本 |
| | 白苞蒿 Artemisia lactiflora | F | 多年生草本 |
| 大戟科 Euphorbiaceae | 白背叶 Mallotus apelta | F | 灌木 |
| () () () () () () () () () () | 油桐 Vernicia fordii | F | 乔木 |
| 木贼科 Equisetaceae | 木贼 Equisetum hyemale | 0 | 多年生草本 |
| 豆科 Fabaceae | 葛 Pueraria lobata | F | 多年生草本 |
| 3271 I abaccae | 云实 Caesalpinia decapetala | F | 灌木 |
| | 羊蹄甲 Bauhinia purpurea | 0 | 灌木 |
| 金缕梅科 Hamamelidaceae | 枫香 Liquidambar formosana | F | 乔木 |
| 並多母性 Hamamendaceae 里白科 Gleicheniaceae | | | 多年生草本 |
| | 芒萁 Dicranopteris dichotoma | F | |
| 鸢尾科 Iridaceae | 蝴蝶花 Iris japonica | F | 多年生草本 |
| 胡桃科 Juglandaceae | 化香树 Platycarya strobilacea | F | 小乔木 |
| 木通科 Lardizabalaceae | 三叶木通 Akebia trifoliata | F | 木质藤本 |
| 樟科 Lauraceae | 山胡椒 Litsea glauca | F | 灌木 |
| | 猴樟 Cinnamomum bodinieri | F | 乔木 |
| 百合科 Liliaceae | 多花黄精 Polygonatum cyrtonema | О | 多年生草本 |
| 海金沙科 Lygodiaceae | 海金沙 Lygodium japonicum | F | 多年生草本 |
| 棟科 Meliaceae | 香椿 Toona sinensis | F | 乔木 |
| 商陆科 Phytolaccaceae | 商陆 Phytolacca acinosa | F | 多年生草本 |
| 松科 Pinaceae | 马尾松 Pinus massoniana | F | 乔木 |
| 禾本科 Poaceae | 白茅 Imperata cylindrica | F | 多年生草本 |
| | 芒草 Miscanthus sinensis | D | 多年生草本 |
| | 荩草 Arthraxon hispidus | F | 一年生草本 |
| | 淡竹叶 Lophatherum gracile | F | 多年生草本 |
| 蕨科 Pteridiaceae | 蕨 Pteridium aquilinum | D | 多年生草本 |
| | 井栏边草 Pteris multifida | F | 多年生草本 |
| 蔷薇科 Rosaceae | 蛇莓 Duchesnea indica | F | 多年生草本 |
| | 灰白毛莓 Rubus tephrodes | D | 灌木 |
| | 毛萼莓 Rubus chroosepalus | F | 灌木 |
| | 湖北海棠 Malus hupehensis | 0 | 小乔木 |
| | 小果薔薇 Rosa cymosa | 0 | 灌木 |
| | 山莓 Rubus corchorifolius | D | 灌木 |
| | 悬钩子 Rubus ichangensis | F | 灌木 |
| 茜草科 Rubiaceae | 大叶白纸扇 Mussaenda esquirolii | 0 | 灌木 |
| = Teastaceae | 鸡矢藤 Paederia scandens | F | 多年生草本 |
| 三白草科 Saururaceae | 鱼腥草 Houttuynia cordata | F | 多年生草本 |
| 五味子科 Schisandraceae | 五味子 Schisandra chinensis | 0 | 木质藤本 |
| 玄参科 Scrophulariaceae | 台湾泡桐 Paulownia kawakamii | F | 小乔木 |
| 茄科 Solanaceae | 白英 Solanum lyratum | F | 草质藤本 |
| 加州 Solanaceae 杉科 Taxodiaceae | 日央 Solanum tyratum 杉木 Cunninghamia lanceolata | F | ^{异灰藤平} 乔木 |
| 15件 Taxodiaceae 山茶科 Theaceae | | | 灌木 |
| | 油茶 Camellia oleifera | D | |
| 榆科 Ulmaceae | 山油麻 Trema cannabina | 0 | 灌木 |
| 荨麻科 Urticaceae | 苎麻 Boehmeria nivea | F | 半灌木 |
| 马鞭草科 Verbenaceae | 紫珠 Callicarpa bodinieri | F | 灌木 |
| 葡萄科 Vitaceae | 异叶爬山虎 Parthenocissus dalzielii | F | 草质藤本 |
| 泰树科 Anacardiaceae | 盐肤木 Rhus chinensis | F | 灌木 |
| 五加科 Araliaceae | 楤木 Aralia elata | F | 灌木 |
| 菊科 Asteraceae | 千里光 Senecio scandens | F | 多年生草本 |
| | 艾蒿 Artemisia argyi | F | 多年生草本 |
| | 野菊 Dendranthema indicum | F | 多年生草本 |

| ≨ 1 | 7 | 4元 |
|-----|---|----|

| 科(铅锌矿区) | 种 | 丰富度1) | 生活型 |
|-----------------------------------------|-------------------------------------------------|-------|----------------------|
| | 苍耳 Xanthium sibiricum | F | 一年生草本 |
| | 加拿大飞蓬 Conyza canadensis | F | 二年生草本 |
| 卫矛科 Celastraceae | 苦皮藤 Celastrus angulatus | F | 木质藤本 |
| | 苦卖菜 Ixeris polycephala | F | 一年生草本 |
| | 南蛇藤 Celastrus orbiculatus | F | 木质藤本 |
| 藜科 Chenopodiaceae | 土荆芥 Chenopodium ambrosioides | F | 一年生草本 |
| 木贼科 Equisetaceae | 木贼 Equisetum hyemale | 0 | 多年生草本 |
| 大戟科 Euphorbiaceae | 杠香藤 Mallotus repandus | F | 灌木 |
| 豆科 Fabaceae | 云实 Caesalpinia decapetala | F | 灌木 |
| | 马棘 Indigofera pseudotinctoria | F | 小灌木 |
| | 鸡眼草 Kummerowia striata | F | 一年生草本 |
| 金缕梅科 Hamamelidaceae | 枫香 Liquidambar formosana | O | 乔木 |
| 唇形科 Lamiaceae | 白苏 Perilla frutescens | F | 一年生草本 |
| | 牛至 Origanum vulgare | O | 多年生草本 |
| 樟科 Lauraceae | 山胡椒 Litsea glauca | F | 灌木 |
| 海金沙科 Lygodiaceae | 海金沙 Lygodium japonicum | O | 多年生草本 |
| 棟科 Meliaceae | 香椿 Toona sinensis | F | 乔木 |
| 罂粟科 Papaveraceae | 博落回 Macleaya cordata | F | 多年生草本 |
| 松科 Pinaceae | 马尾松 Pinus massoniana | F | 乔木 |
| 车前草科 Plantaginaceae | 车前草 Plantago asiatica | F | 多年生草本 |
| 禾本科 Poaceae | 白茅 Imperata cylindrica | D | 多年生草本 |
| , , , , , , , , , , , , , , , , , , , , | 箬竹 Indocalamus tessellatus | D | 多年生草本 |
| | 芒草 Miscanthus sinensis | D | 多年生草本 |
| | 荩草 Arthraxon hispidus | F | 一年生草本 |
| 蕨科 Pteridaceae | 井栏边草 Pteris multifida | F | 多年生草本 |
| 毛茛科 Ranunculaceae | 打破碗花花 Anemone hupehensis | F | 多年生草本 |
| 鼠李科 Rhamnaceae | 枳椇 Hovenia dulcis | 0 | 乔木 |
| THIAIIIIaceae | 光枝勾儿茶 Berchemia polyphylla | F | 灌木 |
| 蔷薇科 Rosaceae | 蛇莓 Duchesnea indica | F | 多年生草本 |
| 画版刊 Hosaceae | 灰白毛莓 Rubus tephrodes | D | 灌木 |
| | 毛萼莓 Rubus chroosepalus | D | 灌木 |
| | 火棘 Pyracantha fortuneana | F | 灌木 |
| 茜草科 Rubiaceae | 八乘 Pyracanna joruneana 鸡矢藤 Paederia scandens | | 草质藤本 |
| 四早代 Kubiaceae | 為大縣 Faeaeria scanaens 金剑草 Rubia alata | F | |
| 齿 汞利 μ . | | 0 | 草质藤本 灌木 |
| 芸香科 Rutaceae | 吴茱萸 Evodia rutaecarpa | F | |
| | 竹叶花椒 Zanthoxylum armatum | F | 灌木 |
| 구 수 共 전 .g | 飞龙掌血 Toddalia asiatica | D | 木质藤本 |
| 三白草科 Saururaceae | 鱼腥草 Houttuynia cordata | F | 多年生草本 |
| 五味子科 Schisandraceae | 五味子 Kadsura longipedunculata | 0 | 木质藤本 |
| 玄参科 Scrophulariaceae | 毛泡桐 Paulownia tomentosa | 0 | 乔木 夕午 <u>牛</u> 草木 |
| 茄科 Solanaceae | 少花龙葵 Solanum photeinocarpum | F | 多年生草本 |
| 长利 m _ i: | 白英 Solanum lyratum | 0 | 草质藤本 |
| 杉科 Taxodiaceae | 杉木 Cunninghamia lanceolata | F | 乔木 |
| 山茶科 Theaceae | 油茶 Camellia oleifera | D | 灌木 |
| 荨麻科 Urticaceae | 苎麻 Boehmeria nivea | F | 半灌木 |
| 马鞭草科 Verbenaceae | 臭牡丹 Clerodendrum bungei | F | 小灌木 |
| ####################################### | 狐臭柴 Premna puberula | 0 | 灌木 |
| 葡萄科 Vitaceae | 异叶爬山虎 Parthenocissus dalzielii | F | 草质藤本 |

1)丰富度等级:D(dominant)表示优势种,F(frequent)表示常见种,O(occasional)表示偶见种

于铅锌矿区,铅锌矿区 Pb、Zn 和 Cd 含量明显高于锰矿区,两矿区 Cu 元素含量基本持平. 两矿区土壤均呈弱酸性,pH 值分别为 5.4 和 6.3. 根据《土壤环境质量标准》二级标准 (GB 15618-1995, pH <

6.5),两矿区土壤 Pb、Zn、Cd 含量均超过二级标准的阈值(图 1 中用虚线表示),对矿区土壤造成污染; Cu 元素均在二级标准范围内,说明 Cu 未对矿区土壤造成污染.目前土壤环境质量标准未对 Mn

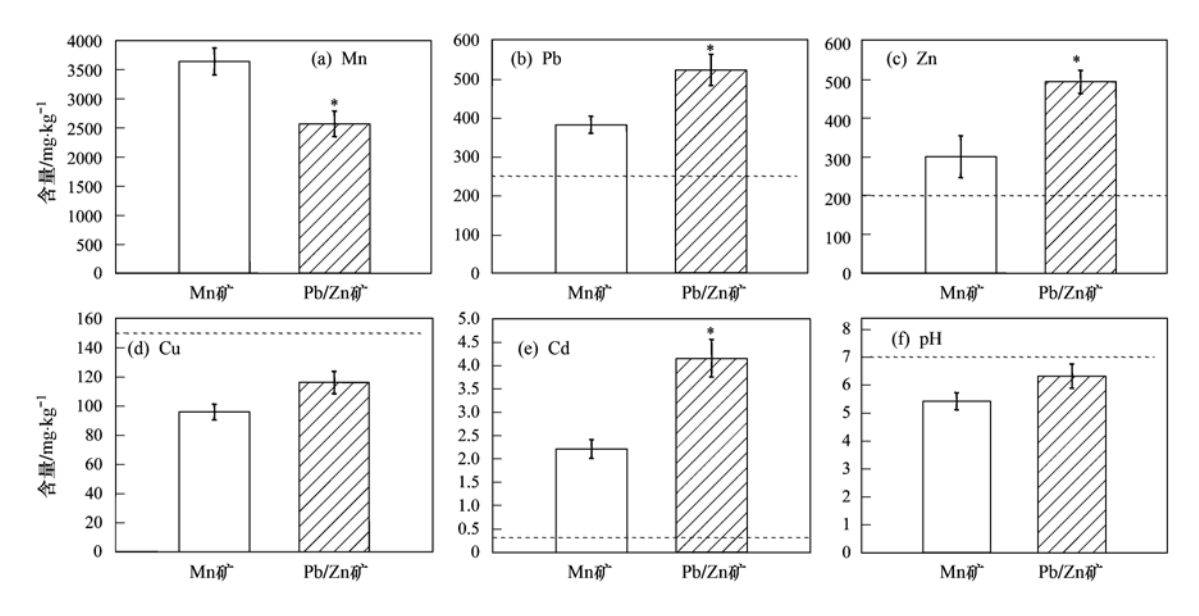


Fig. 1 Heavy metal concentrations and pH values of Mn and Pb/Zn mineland, Huayuan

元素做出规定,据报道 $^{[14]}$, 土壤中 Mn 元素的适中标准为 170~1 200 mg·kg $^{-1}$,锰矿、铅锌矿区土壤 Mn 平均含量分别为该上限值的 2.1 和 1.5 倍.

2.3 两矿区主要优势植物的重金属含量

锰矿、铅锌矿区主要优势植物体内的重金属含量见表 2. 含量最高的是 Mn, 其次是 Zn、Pb、Cu, 最低的是 Cd. 这与土壤中的重金属含量特征基本一致, 反应了植物重金属的生物蓄积特征与土壤重金属的相关性. 总体来看, 不同植物对重金属的吸收和蓄积特征表现出较大差异. 与植物正常含量相比,油茶和芒萁叶、茎中 Mn、Pb 和 Cd 含量较高, 5 种重金属元素基本表现为叶 > 茎 > 根. 灰白毛莓、魁蒿、山莓、蕨和毛萼莓根中重金属含量较高, 且表现为根 > 地上部分. 白茅、飞龙掌血、箬竹和芒草体内重金属含量相对较低, 在植物正常含量范围, 且根、茎、叶重金属含量差异不明显.

2.4 两矿区优势植物的重金属富集、转移特征

花垣锰矿、铅锌矿区主要优势植物生物富集系数与转移系数见表3.生物富集系数(bioconcentration factor, BCF)是指植物体内某种重金属元素含量与土壤中同种重金属含量的比值^[17],它反映了植物对土壤重金属元素的富集能力.转移系数(transfer factor, TF)等于植物地上部分重金属的量除以植物根中该重金属的量,它反映该植物吸收重金属后,从根部向茎、叶的转移能力^[18].从生物富集系数来看,所有植物对重金属元素 Mn、Pb、Zn、Cu的富集能力都较弱,BCF<1,说明两矿区的

主要优势植物均对重金属有一定的耐受能力. 从转移系数看,油茶和芒萁对 Mn、Pb、Zn、Cu 和 Cd 的转移系数较高,TF > 1,表现出较强的向地上部分转移的能力. 灰白毛莓、魁蒿、山莓、蕨、毛萼莓、白茅、飞龙掌血、箬竹和芒草对 5 种重金属的 TF 值较低,一般小于1,吸收重金属后向上转移的能力较差.

3 讨论

植被恢复是矿业废弃地生态恢复的关键,几乎所有的自然生态系统的恢复总是以植被的恢复为前提.重金属矿业废弃地土壤存在诸多影响植物定居、生长的限制因子,如重金属含量高、极端 pH 值、营养元素缺乏、物理结构不良等[19~21].但某些特殊的金属型植物(metallophytes)由于长期进化和自然选择的作用,能在重金属污染严重的土壤中正常生长、定居乃至繁殖后代[22].在矿区重金属污染土壤上生长的植物对重金属均具有一定的耐性,不同的耐性机制使植物对重金属均具有一定的耐性,不同的耐性机制使植物对重金属的吸收、转移和累积特征表现出较大的差异.目前公认的植物耐重金属机制主要有3种策略:富集型(accumulator)、根部囤积型(compartment)和规避型(excluber)[11].

富集型植物能够从土壤中主动吸收并富集重金属元素,同时将大量重金属转移到地上部分^[23].本研究表明,油茶、芒萁体内重金属 Mn、Pb 和 Cd 含量相对较高,对 5 种重金属元素的转移系数均大于 1,吸收重金属后表现出较强的向地上部分转移的能力,符合富集型植物特征.根部囤积型植物对土壤中

表 2 花垣锰矿、铅锌矿区主要优势植物重金属含量/mg·kg-1

 $Table \ 2 \quad Heavy \ metal \ concentrations \ of \ the \ main \ dominant \ plants \ in \ Mn \ and \ Pb/Zn \ mineland \ , \ Huayuan/mg \cdot kg^{-1}$

| 广区 | 植物种类 | 部位 | Mn | Pb | Zn | Cu | Cd |
|-----|----------|--------|----------------------------------------|------------------------------------|-----------------------------------------|-----------------------------------|------------------------------------|
| | 油茶 | 叶 | 2 191. 76 ± 213. 06 | 79.32 ± 2.63 | 122. 53 ± 3. 64 | 14. 69 ± 0. 15 | 2.78 ± 0.15 |
| | | 茎 | 977. 56 ± 100.52 | 59.98 ± 1.97 | 105.42 ± 1.33 | 12.2 ± 0.05 | 1.45 ± 0.27 |
| | | 根 | 492.35 ± 98.23 | 50.63 ± 2.12 | 89.78 ± 3.19 | 7.05 ± 0.67 | 0.67 ± 0.51 |
| | 灰白毛莓 | 叶 | 569.47 ± 79.03 | 30.06 ± 4.24 | 94. 76 ± 2.4 | 21.48 ± 0.32 | 1.17 ± 0.08 |
| | | 茎 | 408.73 ± 71.51 | 20.80 ± 6.83 | 73.29 ± 8.62 | 11.24 ± 0.51 | 1.32 ± 0.18 |
| | | 根 | 974. 76 ± 141. 58 | 87.60 ± 4.92 | 88.58 ± 10.21 | 36.36 ± 0.89 | 2.54 ± 0.64 |
| | 魁蒿 | 叶 | 447.13 ± 58.55 | 10.28 ± 2.67 | 101.98 ± 2.71 | 25.34 ± 1.20 | 1.18 ± 0.44 |
| | | 茎 | 310.96 ± 29.76 | 28.66 ± 7.37 | 137.43 ± 25.08 | 43.51 ± 5.02 | 0.41 ± 0.41 |
| | | 根 | $1\ 276.\ 61\ \pm299.\ 51$ | 150. 17 \pm 8. 19 | 158.38 ± 14.86 | 44.04 ± 3.68 | 2.47 ± 0.76 |
| | 山莓 | 叶 | 304.23 ± 60.02 | 47.30 ± 1.44 | 87.37 ± 16.76 | 28.48 ± 0.70 | 2.32 ± 0.26 |
| 锰 | | 茎 | 242.57 ± 98.97 | 25.34 ± 1.55 | 38.65 ± 8.48 | 14.65 ± 2.63 | 2.06 ± 0.24 |
| 矿 | | 根 | 1018.22 ± 24.3 | 68.29 ± 4.65 | 116.02 ± 25.72 | 16.44 ± 1.61 | 3.18 ± 0.70 |
| | 芒萁 | 叶 | 2 110. 27 ± 207. 74 | 107.02 ± 25.20 | 85.65 ± 8.18 | 42.45 ± 5.66 | 4. 59 ± 0. 85 |
| | | 茎 | 1 553. 47 ± 124. 06 | 80.06 ± 4.24 | 37.45 ± 2.12 | 34.81 ± 7.28 | 1.39 ± 0.38 |
| | | 根 | 404.58 ± 16.49 | 16.62 ± 2.48 | 63.77 ± 4.49 | 26.69 ± 3.46 | 1.09 ± 0.36 |
| | 蕨 | 叶 | 404.88 ± 54.00 | 10.08 ± 1.76 | 44.76 ± 4.36 | 10.09 ± 1.12 | 0.95 ± 0.03 |
| | | 茎 | 266. 48 ± 17. 86 | 19. 39 ± 17.13 | 51.34 ± 3.94 | 18. 74 ± 1. 17 | 0.56 ± 0.07 |
| | | 根 | 1 336. 19 ± 245. 44 | 47.06 ± 8.08 | 59.9 ± 12.41 | 32. 89 ± 1. 91 | 1.32 ± 0.14 |
| | 芒草 | 叶 | 440. 12 ± 70. 84 | 7.67 ± 1.31 | 24.28 ± 3.5 | 14.18 ± 2.13 | 1.05 ± 0.22 |
| | L-T | 茎 | 310.11 ± 42.08 | 5.84 ± 2.04 | 34.8 ± 8.38 | 11.01 ± 2.07 | 0.85 ± 0.10 |
| | | 根 | 532.55 ± 86.13 | 44.38 ± 6.99 | 50. 25 ± 8. 12 | 34. 01 ±9. 85 | 1. 55 ± 0.40 |
| | 油茶 | 叶 | 1 680. 87 ± 163. 09 | 81. 70 ± 10. 61 | 137. 06 ± 25. 25 | 18. 12 ± 0. 9 | 2.66 ± 0.42 |
| | 114/21 | · 茎 | 1 344. 93 ± 39. 53 | 61.51 ± 15.31 | 96. 01 ± 13. 87 | 17.37 ± 1.46 | 1.01 ± 0.3 |
| | | 根 | 672. 27 ± 30. 97 | 65.46 ± 16.19 | 126. 17 ± 1.91 | 12.95 ± 2.1 | 1. 19 ± 0.4 |
| | 灰白毛莓 | 叶 | 403.72 ± 48.17 | 51. 94 ± 4. 93 | 91. 65 ± 9. 29 | 20.69 ± 3.77 | 1. 48 ± 0.19 |
| | <u>Д</u> | 茎 | 258. 47 ± 36. 25 | 45.06 ± 3.70 | 113. 87 ± 10. 12 | 27. 79 ± 1. 65 | 1. 57 ± 0.17 |
| | | 根 | 1 491. 55 ± 46. 98 | 108. 77 ± 8. 16 | 140. 6 ± 19. 51 | 36.08 ± 7.5 | 3.12 ± 0.3 |
| | 白茅 | 叶 | 50. 05 ± 2. 11 | 15.00 ± 0.16 | 68.74 ± 1.88 | 5. 26 ± 1. 17 | 1.06 ± 0.20 |
| | H4. | 茎 | 15. 43 ± 1. 35 | 21. 81 ± 2. 64 | 18.59 ± 0.91 | 10.80 ± 0.14 | 1.00 ± 0.20 |
| 铅 | | 星根 | 230. 01 ± 39. 63 | 83. 21 ± 11. 75 | 81. 21 ± 10. 51 | 10. 80 ± 0. 14 19. 67 ± 6. 67 | 1.50 ± 0.0 |
| 锌 | 箬竹 | 叶 | 212. 31 ±46. 19 | 28. 48 ± 3. 87 | 148.38 ± 25.74 | 16. 21 ± 3. 08 | 0.93 ± 0.0 |
| 矿 | 石11 | 茎 | 81. 89 ± 9. 44 | 33.06 ± 4.35 | 31.09 ± 5.88 | 10.21 ± 3.08 11.25 ± 1.41 | 0.96 ± 0.06 |
| 119 | | 根 | 96. 17 ±4. 12 | 11. 19 ± 1. 33 | 121.73 ± 8.39 | 11. 23 ± 1. 41 11. 11 ± 0. 76 | 0.79 ± 0.08 |
| | 毛萼莓 | 叶 | 126. 85 ± 2. 54 | 12.31 ± 0.80 | 121.73 ± 8.39 109.65 ± 30.22 | 7. 74 ± 0.10 | 1.05 ± 0.06 |
| | -C-2-m | 茎 | 67. 63 ± 5. 67 | 8.99 ± 2.18 | 26.47 ± 2.39 | 2.39 ± 0.12 | 0.24 ± 0.03 |
| | | 星根 | $1.056.60 \pm 15.91$ | 46.99 ± 4.02 | 199.31 ± 6.23 | 20.74 ± 4.07 | 0.24 ± 0.03 2.30 ± 0.08 |
| | 飞龙掌血 | 叶 | 60.04 ± 12.19 | 8. 12 ± 0. 34 | 63.01 ± 0.23 | 13.08 ± 0.48 | 1.05 ± 0.00 |
| | 心儿手皿 | 茎 | 33.02 ± 0.97 | 6.12 ± 0.34 6.10 ± 2.25 | 03.01 ± 1.93 11.08 ± 3.02 | 10.56 ± 0.26 | 0.41 ± 0.12 |
| | | 全 根 | | 6.10 ± 2.25 22.38 ± 0.22 | | | 0. 41 ± 0. 12 1. 96 ± 0. 10 |
| | 芒草 | 叶 | 131. 87 ± 4. 29 99. 91 ± 1. 44 | 22.38 ± 0.22 26.98 ± 2.78 | 60.08 ± 2.61 | 22.62 ± 1.46 | |
| | 亡早 | 茎 | | | 39.87 ± 5.03 | 6.79 ± 0.23 | 1.05 ± 0.21 |
| | | 圣 根 | 119. 90 ± 4. 05 | 12. 21 ± 1. 64 | 37.30 ± 5.05 | 10.77 ± 1.61 | 0.42 ± 0.19 |
| | 植物正常含量 | 10 - | 146.29 ± 28.17 $1 \sim 700^{[16]}$ | 42. 51 ± 10. 84 | 61.34 ± 9.22 | 22. 83 ± 2. 24 | 1. 16 ± 0. 14 |

表 3 花垣锰矿、铅锌矿主要优势植物的富集系数和转运系数

Table 3 Bioconcentration factor (BCF) and transfer factor (TF) of the dominant plants in Mn and Pb/Zn mineland, Huayuan

| 矿区 | 植物 | N | I n | F | Pb | 7 | ^Z n | C | Lu | (| Cd |
|------|------|-------|------------|-------|-------|-------|----------------|------|-------|-------|-------|
| 19 L | 但初 | BCF | TF | BCF | TF | BCF | TF | BCF | TF | BCF | TF |
| | 油茶 | 0. 57 | 4. 45 | 0. 22 | 1. 57 | 0.43 | 1. 36 | 0.13 | 2. 08 | 1. 53 | 4. 14 |
| | 灰白毛莓 | 0.42 | 0.58 | 0.17 | 0.34 | 0.31 | 1.07 | 0.33 | 0.59 | 1.08 | 0.52 |
| | 魁蒿 | 0. 28 | 0.35 | 0.14 | 0. 57 | 0.46 | 0.87 | 0.44 | 0.99 | 1.03 | 0.48 |
| 锰矿 | 山莓 | 0.48 | 0.30 | 0.18 | 0.69 | 0.43 | 0.75 | 0.32 | 1.73 | 1.06 | 0.73 |
| | 芒萁 | 0.53 | 5. 22 | 0. 28 | 6. 44 | 0.30 | 1.34 | 0.47 | 1.58 | 1.46 | 2.38 |
| | 蕨 | 0. 24 | 0.30 | 0.14 | 0.41 | 0.18 | 0.86 | 0.41 | 0.57 | 0.60 | 0.72 |
| | 芒草 | 0.17 | 0.83 | 0.13 | 0. 17 | 0.17 | 0.69 | 0.37 | 0.42 | 0.80 | 0.67 |
| 铅锌矿 | 油茶 | 0. 75 | 2. 50 | 0. 15 | 1. 25 | 0. 26 | 1. 09 | 0.15 | 1.40 | 0. 82 | 2. 24 |
| | 灰白毛莓 | 0.74 | 0. 27 | 0.14 | 0.48 | 0.31 | 0.81 | 0.28 | 0.77 | 0.53 | 0.50 |
| | 白茅 | 0.11 | 0.07 | 0.18 | 0. 26 | 0.13 | 0.46 | 0.18 | 0.55 | 0. 28 | 0.70 |
| | 箬竹 | 0.07 | 2. 21 | 0.07 | 2. 95 | 0.31 | 1. 22 | 0.15 | 1.46 | 0. 29 | 1. 22 |
| | 毛萼莓 | 0.42 | 0.12 | 0.13 | 0. 26 | 0. 28 | 0.91 | 0.17 | 0.37 | 0.49 | 0.46 |
| | 飞龙掌血 | 0.04 | 0.46 | 0.03 | 0.36 | 0.12 | 1.05 | 0.04 | 0.58 | 0.64 | 0.54 |
| | 芒草 | 0.05 | 0.82 | 0.12 | 0.37 | 0.13 | 0.65 | 0.05 | 0.47 | 0.34 | 0.90 |

的重金属具有被动吸收的特征,能将重金属吸收至体内,但金属元素大量囤积于根部,只有少量向地上部运移,减少对光合、呼吸、生殖系统的伤害^[24].灰白毛莓、山莓、毛萼莓、魁蒿、蕨吸收的重金属主要累积在根部,向地上转移的能力较弱,属于根部囤积型植物.规避型植物则能抵制植物根系对重金属的吸收,并常常将土壤重金属沉淀在根系表面,而植物体内只吸收少量的重金属^[23].芒草、白茅、箬竹、飞龙掌血尽管生长在重金属元素含量较高的环境中,体内重金属含量均在植物正常含量范围内,且重金属富集系数和转运系数均小于1,可见属于重金属规避型植物.

矿区植被恢复过程中,要根据植物对重金属 的不同耐性和蓄积特征采取相应的植被恢复措 施. 富集型植物由于其对重金属耐性高且能将吸 收的重金属转移到地上部位,适用于重金属污染 中等且使用价值较高的污染土壤,如矿区周边的 农用地、生活区等,种植几茬土壤中的重金属含量 减少到允许范围内后再移作农田使用[25]. 但在种 植过程中要采取一定的防护措施,防止重金属通 过食物链对人畜产生毒害. 另外, 收割后也要做妥 善处理,避免重金属带来二次污染.根部囤积型和 规避型植物具重金属耐性高且吸收、富集量少的 特点,适合种植在重金属污染严重、使用价值相对 较低、面积较大的各种类型的矿山废弃地,如尾矿 库、排土场、冶炼渣堆放场地等[26]. 在矿区种植这 类植物可以起到稳定土壤、控制污染、改善景观、 减轻重金属通过风蚀、水蚀对周边地区带来的 污染.

4 结论

- (1)通过对湘西花垣县锰矿、铅锌矿区植被调查,共记录到高等植物 76 种,隶属 69 属, 39 科. 其中锰矿区 31 科, 45 属, 49 种;铅锌矿区 32 科, 49 属, 53 种.
- (2)湘西花垣县矿区的不同植物对重金属的吸收和蓄积特征不同.油茶和芒萁叶、茎重金属含量较高,且表现为叶>茎>根,属于金属富集型植物,适于修复湘西矿区重金属污染中等且使用价值较高的污染土壤.灰白毛莓、魁蒿、山莓、蕨和毛萼莓根中重金属含量较高,表现为根>地上部分,属于根部囤积型植物;白茅、飞龙掌血、箬竹和芒草根、茎、叶重金属含量均较低,在植物正常含量范围内,属于重金属规避型植物.这两种类型的植物适合种植在湘西矿

区重金属污染严重、使用价值相对较低、面积较大的矿山废弃地.

参考文献:

- [1] Memon, A R, Schröder P. Implications of metal accumulation mechanisms to phytoremediation [J]. Environmental Science and Pollution Research, 2009, 16(2): 162-175.
- [2] Suresh B, Ravishankar G A. Phytoremediation-a novel and promising approach for environmental clean-up [J]. Critical Reviews in Biotechnology, 2004, 24(2-3): 97-124.
- [3] Wong M H. Ecological restoration of mine degraded soils, with emphasis on metal contaminated soils [J]. Chemosphere, 2003, ${\bf 50}(6)$: 775-780.
- [4] Ye Z H, Shu W S, Zhang Z Q, et al. Evaluation of major constraints to revegetation of lead/zinc mine tailings using bioassay techniques [J]. Chemosphere, 2002, 47(10): 1103-1111.
- [5] Li M S. Ecological restoration of mineland with particular reference to the metalliferous mine wasteland in China: a review of research and practice [J]. Science of the Total Environment, 2006, 357(1-3): 38-53.
- [6] Shu W S, Ye Z H, Zhang Z Q, et al. Natural colonization of plants on five lead/zinc mine tailings in Southern China [J]. Restoration Ecology, 2005, 13(1): 49-60.
- [7] 王友保, 刘登义, 张莉, 等. 铜官山铜尾矿库植被及土壤酶活性研究 [J]. 应用生态学报, 2003, **14**(5): 757-760.
- [8] 杨世勇,谢建春,刘登义.铜陵铜尾矿复垦现状及植物在铜尾矿上的定居 [J].长江流域资源与环境,2004,13(5):488-493
- [9] 田胜尼,孙庆业,王铮峰,等.铜陵铜尾矿废弃地定居植物及基质理化性质的变化[J].长江流域资源与环境,2005, 14(1):88-93.
- [10] 周兴,宋书巧,吴欢.广西刁江流域有色金属矿区尾砂库植物研究[J]. 热带地理,2003,23(3):226-230.
- [11] 雷梅, 岳庆玲, 陈同斌, 等. 湖南柿竹园矿区土壤重金属含量及植物吸收特征 [J]. 生态学报, 2005, **25**(5): 1146-1151.
- [12] 陈明辉, 孙际茂, 付益平, 等. 湘西州矿产资源现状及找矿方向 [J]. 矿产与地质, 2008, **22**(2): 93-96.
- [13] Brooks R R. Plants that hyperaccumulate heavy metals [M]. Wallingford: CAB International, 1998.
- [14] 王敬国. 植物营养元素的土壤化学 [M]. 北京: 中国农业大学出版社,1995.
- [15] 曹鉴燎,池柏良. 都市生态走廊 [M]. 北京: 气象出版社, 2001.
- [16] Gerber G B, Léonard A, Hantson P. Carcinogenicity, mutagenicity and teratogenicity of manganese compounds [J]. Critical Reviews in Oncology/Hematology, 2002, 42(1): 25-34.
- [17] Salt D E, Blaylock M, Kumar N P B A, et al. Phytoremediation: a novel strategy for the removal of toxic metals from the environment using plants [J]. Nature Biotechnology, 1995, 13(5): 468-474.

- [18] Reeves R D, Baker A J M. Metal-accumulating plants [A]. In:
 Raskin I, Ensley B D, eds. Phytoremediation of Toxic Metals:
 Using Plants to Clean up the Environment [M]. New York: John
 Wiley & Sons, 2000. 193-229.
- [19] Adriano D C, Wenzel W W, Vangronsveld J, et al. Role of assisted natural remediation in environmental cleanup [J]. Geoderma, 2004, 122(2-4): 121-142.
- [20] Bolan N S, Duraisamy V P. Role of inorganic and organic soil amendments on immobilisation and phytoavailability of heavy metals: a review involving specific case studies [J]. Australian Journal of Soil Research, 2003, 41(3): 533-555.
- [21] Li M S, Luo Y P, Su Z Y. Heavy metal concentrations in soils and plant accumulation in a restored manganese mineland in Guangxi, South China [J]. Environmental Pollution, 2007, 147 (1): 168-175.

- [22] Baker A J M. Metal tolerance [J]. New Phytologist, 1987, 106 (1): 93-111.
- [23] Baker A J M. Accumulators and excluders-strategies in the response of plants to heavy metals [J]. Journal of Plant Nutrition, 1981, 3(1-4): 643-654.
- [24] Mendez M O, Maier R M. Phytostabilization of mine tailings in arid and semiarid environments-An emerging remediation technology [J]. Environmental Health Perspectives, 2008, 116 (3): 278-283.
- [25] Marchiol L, Sacco P, Assolari S, et al. Reclamation of polluted soil: phytoremediation potential of crop-related Brassica species [J]. Water, Air and Soil Pollution, 2004, 158(1): 345-356.
- [26] Wei S H, Zhou Q X, Wang X. Identification of weed plants excluding the uptake of heavy metals [J]. Environment International, 2005, 31(6); 829-834.

HUANJING KEXUE

Environmental Science (monthly)

Vol. 33 No. 6 Jun. 15, 2012

CONTENTS

| Regional Heterogeneity of Lake Eutrophication Effects in China Correlating Landscape Pattern with Total Nitrogen Concentration Using a Location-weighted Sink-source Landscape Index in the Hai | |
|--------------------------------------------------------------------------------------------------------------------------------------------------------------------------------------------------------------------------------------------------------------------------------------------------------------------------------------------------------------------------------------------------------------------------------------------------------------------------------------------------------------------------------------------------------------------------------------------------------------------------------------------------------------------------------------------------------------------------------------------------------------------------------------------------------------------------------------------------------------------------------------------------------------------------------------------------------------------------------------------------------------------------------------------------------------------------------------------------------------------------------------------------------------------------------------------------------------------------------------------------------------------------------------------------------------------------------------------------------------------------------------------------------------------------------------------------------------------------------------------------------------------------------------------------------------------------------------------------------------------------------------------------------------------------------------------------------------------------------------------------------------------------------------------------------------------------------------------------------------------------------------------------------------------------------------------------------------------------------------------------------------------------------------------------------------------------------------------------------------------------------|----------------------------------------------------------------|
| Correlating Landscape rattern with Total Nitrogen Concentration Using a Location-weighned Shik-source Landscape index in the rial | SUN Pen has CHEN I; ding WANC Wei et al. (1794) |
| Impact of the Land-use Change on the Non-point Source Nitrogen Load in Yunmeng Lake Watershed | |
| Residue Characteristics and Distributions of Perfluorinated Compounds in Surface Seawater Along Shenzhen Coastline | |
| Distribution and Potential Ecological Risk of Polycyclic Aromatic Hydrocarbons in the Sediments from Typical Electronics Industrial | |
| Distribution and Tolenhar Ecological fusik of Tolycyche Afoniatie Hydrocarbons in the Sediments from Typical Electronics industrial | DENC Dei vong OIII Mong de SUN Cue ning et al. (1801) |
| Residues and Potential Ecological Risk Assessment of Metal in Sediments from Lower Reaches and Estuary of Pearl River | |
| Character and Sources Identification of Heavy Metals Contamination in Sediment from the Core Sediment in Nanshan Lake, the Zha | |
| Character and Sources definition of freaty metals Contamination in Sediment from the Core Sediment in Manshan Lake, the Zha | |
| Distribution Characteristics of Phosphorus Forms in Surface Sediments of the Shantou Bay in China | |
| Microcosm Experiments on the Influence of Different N/P Ratios on Phytoplankton Community Growth in the East China Sea | |
| Species Composition and Distribution Characteristics of Pelagic Copepods in the Northern Sea of Fujian During Withdraw of Zhe-Mi | |
| operate composition and abstraction distinct of reages copepose in the rotation ocal of region which we are | WANG Yan-guo LIN ling-hong WANG Chun-guang et al. (1839) |
| PAHs Concentrations in Aquatic Products and Food Safety Evaluation in the Coupled Mangrove Planting-Aquaculture Ecological Sys | tem |
| The concentration in equation and course of the complete states of the complete course of the course of t | ····· CHEN Guan-qiu LI Yao-chu HUANG Iin-mu et al. (1846) |
| Tissue Distribution and Bioconcentration Factors of Tetrabromobisphenol A in Five Fishes in Lake Chaohu | YANG Su-wen, WANG Sheng-rui, YAN Zhen-guang, et al. (1852) |
| Induction Effects of Pentachlorophenol on Vitellogenin and p53 in Chinese Rare Minnow (Gobiocypris rarus) | |
| Effects of Perfluorooctane Sulfonate (PFOS) Exposure on Vitellogenin mRNA Level in Zebrafish (Brachydanio rerio) | |
| Relationship Between Electron Transfer Capacity and Fluorescence Characteristics of Dissolved Organic Matter | |
| Characterization of the Change in DOM During Municipal Secondary Effluent Treatment with Magnetic Ion Exchange Resin by 3DEI | |
| Reverse Osmosis Membrane Fouling by Humic Acid Using XDLVO Approach; Effect of Calcium Ions | |
| Growth, Removal of Nitrogen and Phosphorus, and Lipid Accumulation Property of Scenedesmus sp. LX1 in Aquaculture Wastewate | |
| Iron Chloride for Simultaneous Denitrification and Chemical-Biological Flocculation Process | |
| Characteristic Research of Shortcut Denitrification in Synthetic Ammonia Industrial Wastewater Treatment Process | |
| Stability Control of Aerobic Granules Using an Innovative Reactor | LI Zhi-hua, YANG Fan, LI Sheng, et al. (1907) |
| Description of the Stability of Granules Using Nongrowth-related Parameters | |
| Enhancement of Anaerobic Digestion of Excess Sludge by Acid-Alkali Pretreatment | ······ YUAN Guang-huan, ZHOU Xing-qiu, WU Jian-dong (1918) |
| Pilot Validation of Sludge Concentration Partition at Small Reflux Ratio Condition | |
| Influence of Non-ionic Surfactants on Sludge Dewaterability | |
| Variation Characteristics and Influencing Factors of Air Pollution Index in China | |
| Characteristics of Aerosol Water-Soluble Inorganic Ions in Three Types Air-Pollution Incidents of Nanjing City | ··········· ZHANG Qiu-chen, ZHU Bin, SU Ji-feng, et al. (1944) |
| Characterization of Atmospheric PM _{2.5} in the Suburb of Shenzhen | DAI Wei, GAO Jia-qi, CAO Gang, et al. (1952) |
| Analysis on Oil Fume Particles in Catering Industry Cooking Emission | |
| ${\it Low-Temperature\ Catalytic\ Reduction\ of\ NO\ over\ Fe-MnO}_x-{\it CeO}_2/{\it ZrO}_2\ {\it Catalyst}$ | |
| CO ₂ Absorption and Regeneration Performance of a Natural Amino Acid and Its Potassium Salt | |
| Effects of Tillage-Cropping Systems on Methane and Nitrous Oxide Emissions from Agro-Ecosystems in a Purple Paddy Soil | |
| Factors Influencing Ammonia Volatilization in a Winter Wheat Field with Plastic Film Mulched Ridges and Unmulched Furrows | |
| Effects of Typical Herbicides on Soil Respiration and N2O Emissions from Soil Added with Different Nitrogen Fertilizers | |
| Analysis of Characteristics of Dioxin Contamination in the Chlor-alkali Site that Uses Graphite Anode for Production | |
| Effect of Flue Gas Desulfurization Gypsum Application on Remediation of Acidified Forest Soil | |
| Morphology of Soil Iron Oxides and Its Correlation with Soil-Forming Process and Forming Conditions in a Karst Mountain | |
| Pb, Zn Accumulation and Nutrient Uptake of 15 Plant Species Grown in Abandoned Mine Tailings | |
| Effect of Cr(VI) Stress on Growth of Three Herbaceous Plants and Their Cr Uptake | |
| Bioaccumulation of Heavy Metals by the Dominant Plants Growing in Huayuan Manganese and Lead/Zinc Mineland, Xiangxi | |
| Effect of CO ₂ Fertilization on Residual Concentration of Cypermethrin in Rhizosphere of C3 and C4 Plant | |
| Bioaugmented Removal of Pyridine and the Microbial Community Dynamic Analysis | |
| Relationship Between Sewage Treatment Efficiency and Bacterial Community Diversity in an A/O MBR Dynamic Changes in Functional Genes for Nitrogen Cycle During Bioremediation of Petroleum-Contaminated Soil | |
| Risk Assessment of Lead Exposure from Different Intake Pathways for Children in Wuhan City | |
| Implementation of a Pretreatment Device for an Electronic Nose | |
| Copper and Cadmium Toxicities to Activated Sludge Investigated with ToxTell Biosensor | |
| Matrix Effect and Control of Immunoassay for Environmental Samples | |
| Study on Vitrification of Simulated Medical Wastes by Thermal Plasma | |
| Study on the Low Temperature Drying of Components of Municipal Solid Waste and Its Model Analysis | |
| Aerogenesis Evolution of the Anaerobic-semiaerobic Bioreactor Landfill | |
| Performance of Microbial Fuel Cells with Fe/C Catalyst Carbon Felt Air-Cathode for Treating Landfill Leachate | |
| Relationships Between Soil and Rocky Desertification in Typical Karst Mountain Area Based on Redundancy Analysis | |
| Energy Consumption and GDP Growth in Beijing: Cointegration and Causality Analysis | |
| V 1 , 0, 1 , 0, 1 , 1 , 1 , 1 , 1 , 1 , 1 | , , , , , , , , , , , , , , , , , , , , |

《环境科学》第6届编辑委员会

主 编:欧阳自远

副主编:赵景柱 郝吉明 田 刚

编 委:(按姓氏笔画排序)

万国江 王华聪 王凯军 王绪绪 田 刚 田 静 史培军

朱永官 刘志培 汤鸿霄 陈吉宁 孟 伟 周宗灿 林金明

欧阳自远 赵景柱 姜 林 郝郑平 郝吉明 聂永丰 黄 霞

黄耀 鲍强潘纲潘涛魏复盛

环枪种草

(HUANJING KEXUE)

(月刊 1976年8月创刊) 2012年6月15日 33卷 第6期

ENVIRONMENTAL SCIENCE

(Monthly Started in 1976)

Vol. 33 No. 6 Jun. 15, 2012

| 主 | 管 | 中国科学院 | Superintended | by | Chinese Academy of Sciences |
|------|-----|--------------------------------------|------------------|----|---------------------------------------------------------|
| 主 | 办 | 中国科学院生态环境研究中心 | Sponsored | by | Research Center for Eco-Environmental Sciences, Chinese |
| 协 | 办 | (以参加先后为序) | | | Academy of Sciences |
| | | 北京市环境保护科学研究院 | Co-Sponsored | by | Beijing Municipal Research Institute of Environmental |
| | | 清华大学环境学院 | | | Protection |
| 主 | 编 | 欧阳自远 | | | School of Environment, Tsinghua University |
| 编 | 辑 | 《环境科学》编辑委员会 | Editor-in -Chief | | OUYANG Zi-yuan |
| >m | 74 | 北京市 2871 信箱(海淀区双清路 | Edited | by | The Editorial Board of Environmental Science (HUANJING |
| | | 18号,邮政编码:100085) | | | KEXUE) |
| | | 电话:010-62941102,010-62849343 | | | P. O. Box 2871, Beijing 100085, China |
| | | 传真:010-62849343 | | | Tel: 010-62941102, 010-62849343; Fax: 010-62849343 |
| | | E-mail; hjkx@ rees. ac. cn | | | E-mail: hjkx@ rcees. ac. cn |
| | | http://www.hjkx.ac.cn | | | http://www. hjkx. ac. cn |
| 出 | 版 | 4 星 虫 版 社 | Published | by | Science Press |
| щ | /IX | 北京东黄城根北街 16 号 | | | 16 Donghuangchenggen North Street, |
| | | 邮政编码:100717 | | | Beijing 100717, China |
| 印刷装 | ìΤ | 北京北林印刷厂 | Printed | by | Beijing Bei Lin Printing House |
| 发 | 行 | 4 学出版社 | Distributed | by | Science Press |
| | | 电话:010-64017032 | | | Tel:010-64017032 |
| | | E-mail: journal@ mail. sciencep. com | | | E-mail: journal@ mail. sciencep. com |
| 订 购 | 处 | 全国各地邮电局 | Domestic | | All Local Post Offices in China |
| 国外总发 | 対行 | 中国国际图书贸易总公司 | Foreign | | China International Book Trading Corporation (Guoji |
| | | (北京 399 信箱) | | | Shudian), P. O. Box 399, Beijing 100044, China |
| | | | | | |

中国标准刊号: $\frac{ISSN}{CN}$ 0250-3301 $\frac{11-1895/X}{11}$

国内邮发代号: 2-821

国内定价:70.00元

国外发行代号: M 205

国内外公开发行